

مطالعه تحلیلی سینتیک فرایندهای مختلف در پیروولیز ابر ذرات لایکوپدیوم

حسین بیدقی دیزجی^۱ و مهدی بیدآبادی^۲

۱- کارشناس ارشد مهندسی مکانیک، دانشگاه علم و صنعت ایران، آزمایشگاه تحقیقاتی سوخت و احتراق (نویسنده مخاطب)،
Beidaghy_Hossein@mecheng.iust.ac.ir

۲- استاد مهندسی مکانیک، دانشگاه علم و صنعت ایران، آزمایشگاه تحقیقاتی سوخت و احتراق، Bidabadi@iust.ac.ir

(دریافت: ۹۲/۲/۵، دریافت آخرین اصلاحات: ۹۲/۲/۰، پذیرش: ۹۲/۳/۰)

در مقاله حاضر، با توجه به اهمیت پارامترهای مختلف سینتیک فرایندهای خشکشدن و پیروولیز ذرات ارگانیکی چون لایکوپدیوم بر روی مدل‌های تحلیلی احتراق این نوع ذرات، به بررسی سنتیک این فرایندها پرداخته شده است. در این تحقیق، با استفاده از منحنی‌های TGA نتایج آزمایشگاهی موجود به بررسی منحنی‌های DTG و ارائه یک مدل تحلیلی برای سنتیک فرایندهای خشکشدن و پیروولیز ذرات در پدیده احتراق پرداخته شده است. در این کار، به صورت تحلیلی سینتیک پیروولیز و خشکشدن رطوبت ذرات لایکوپدیوم مطالعه شده و با استفاده از آن ضرایب سینتیکی مربوط به هر مرحله از پیروولیز این ذره به دست آمده است. نتایج نشانگر تطابق فوق العاده مدل تحلیلی با نتایج آزمایشگاهی موجود است. می‌توان نتایج حاصل از این کار را با درصد اطمینان بالایی در مدل‌های تحلیلی آینده برای ذرات لایکوپدیوم مورد استفاده قرار داد.

کلیدواژگان: احتراق ذرات لایکوپدیوم، سینتیک فرایند پیروولیز، سینتیک فرایند خشکشدن

مقدمه

با توجه به افزایش مصرف انرژی و حرکت کشور به سمت واقعی کردن قیمت حامل‌های انرژی و البته پتانسیل بالای کشور از نظر منابع انرژی‌های تجدیدپذیر، همچون انرژی حاصل از احتراق ذرات ارگانیک، در قدم اول بررسی خواص احتراقی این منابع دارای اهمیت غیر قابل انکار است. یکی از منابع مهم انرژی، که در سال‌های اخیر بسیار مورد توجه کشورهای پیشرفته دنیا قرار گرفته است، انرژی حاصل از احتراق ذرات ارگانیکی چون لایکوپدیوم است که بسیار ارزان، پاک، در دسترس و همیشگی است. بنابراین، شناسایی خصوصیات مختلف احتراقی این گونه مواد به عنوان اولین گام در استفاده از این منابع عظیم انرژی بسیار حائز اهمیت است. احتراق ذرات ارگانیک هم‌زمان شامل انتقال حرارت، انتقال جرم، تغییر فاز، تبخیر رطوبت، پیروولیز ذرات بر اثر حرارت و واکنش شیمیایی یا احتراق گازهای حاصل از پیروولیز است. با درنظر گرفتن این فرایندها مشخص می‌شود که فرایند احتراق ذرات ارگانیک یک مسئله بسیار پیچیده است که هنوز کاملاً ساخته شده نبوده و نیازمند تحقیقات و بررسی‌های فراوان است.

یکی از خواص ذره لایکوپدیوم خاصیت تکسايزی بودن آن است. از این رو از آن به عنوان ذره مرجع در احتراق ذرات ارگانیک استفاده می‌شود. خاصیت بعدی این ماده تخلخل بالای داخل آن است که باعث می‌شود میزان گاز تولیدی در مرحله پیروولیز حداکثر بوده و خاصیت اشتعال‌پذیری بالایی را برای ذره فراهم کند که نتایج انجام شده در آزمایشگاه SEM دانشگاه علم و صنعت ایران نیز گویای همین امر است [۱، ۲].

منحنی‌های TGA^۱ و DTG^۲ برای هر ماده‌ای اساساً به اجزای تشکیل‌دهنده و خواص پیرولیز ترکیبات موجود در آن ذره ارگانیک وابسته‌اند [۳]. ذرات ارگانیک زیست‌توده از جمله لاکوپدیوم از سه ترکیب سلولز^۳، همی‌سلولز^۴ و لیگنین^۵ تشکیل شده است [۳]. تحت نرخ حرارتی معمولی، ابتدا همی‌سلولز، بعد سلولز، پیرولیز می‌شوند و ترکیب لیگنین به صورت آرام و تدریجی، در تمام محدوده دمایی پیرولیز و بدون ظهور قله‌ای در منحنی کاهش جرم، پیرولیز می‌شود. یعنی لیگنین به نسبت دو جزء دیگر (همی‌سلولز و سلولز) به صورت پایدار دمایی رفتار می‌کند [۳].

در این تحقیق، با استفاده از نتایج منحنی‌های TGA هان و همکارانش [۴] و منحنی TGA و DTG زیوکوا و همکارانش [۵]، که برای ذرات ارگانیک لاکوپدیوم ارائه شده‌اند، مدلی تحلیلی برای فرایندهای خشک‌شدن (تبخیر رطوبت) و پیرولیز ذرات لاکوپدیوم ارائه شده است. ضمن آنکه سینتیک فرایندهای فوق مطالعه شده است و مقادیر انرژی فعالسازی و ضریب پیش‌نمایی^۶ معادله آرنیوس برای هر فرایند جداگانه محاسبه شده است. این ضرایب در تحلیل احتراق ذرات لاکوپدیوم یا به‌طور کلی ذرات ارگانیک دارای نقش اساسی است که تاکنون در مدل‌های ارائه‌شده [۶-۱۱] جهت سادگی از سینتیک استفاده می‌شد که این سینتیک و مقادیر ارائه‌شده برای ذرات ارگانیک خاصی چون لاکوپدیوم نبود، ضمن آنکه پشتونه تجربی نیز نداشت. در حالی که سینتیک معرفی‌شده در این تحقیق، با توجه به نتایج ارائه‌شده، با نتایج آزمایشگاهی سازگاری بسیار خوبی را نشان می‌دهد. می‌توان نتایج فوق را با قابلیت اطمینان بالایی در مدل‌های تحلیلی آینده برای ذرات لاکوپدیوم استفاده کرد.

مدل تحلیلی سینتیک پیرولیز لاکوپدیوم

برای فرایندهای مختلف خشک‌شدن و پیرولیز ترکیبات مختلف موجود در انواع ذرات ارگانیک مانند لاکوپدیوم، که در محدوده دماهای مختلف انجام می‌پذیرند، مدل سینتیک زیر ارائه شده است [۱۲-۱۴]:

$$\frac{dy_i^*}{dt} = K_i \times f(y_i^*) \quad (1)$$

در معادله بالا، i نشان‌دهنده شماره فرایندهای مختلفی است که بر حسب دما به صورت پشت سر هم اتفاق می‌افتد و برای K_i از معادله آرنیوس استفاده شده است و داریم:

$$K_i = A_i \times \exp\left(-\frac{E_i}{RT}\right) \quad (2)$$

$$f(y_i^*) = (1 - y_i^*)^n \quad (3)$$

در معادلات بالا، n مرتبه واکنش در هر فرایند و y_i^* کسر کاهش جرم هر فرایند است که به صورت زیر تعریف می‌شود:

$$y_i^* = \frac{M_{S_0} - M_S}{M_{S_0} - M_{S_\infty}} \quad (4)$$

حال، با تعریف نرخ حرارت‌دهی H معادله (1) به‌شکل جدید زیر در می‌آید:

$$\begin{cases} H = \frac{dT}{dt} \rightarrow dt = \frac{dT}{H} \\ \frac{dy_i^*}{f(y_i^*)} = K_i \times dt \end{cases} \Rightarrow \frac{dy_i^*}{f(y_i^*)} = \frac{K_i}{H} \times dT \quad (5)$$

- 1. Thermal gravimetric analysis
- 2. Derivative thermal gravimetric
- 3. Cellulose
- 4. Hemicellulose
- 5. Lignin
- 6. Pre-exponential factor

با انتگرال‌گیری از معادله (۵) معادله زیر حاصل می‌شود:

$$f^*(y_i^*) = \int_0^{y_i^*} \frac{dy_i^*}{f(y_i^*)} = \frac{A_i}{H} \int_{T_0}^T \exp\left(-\frac{E_i}{RT}\right) dT \quad (6)$$

برای حل معادله انتگرالی معادله (۶) طرفین معادله بالا در جمله $\frac{1}{T^2}$ ضرب شده است:

$$f^*(y_i^*) = \int_0^{y_i^*} \frac{dy_i^*}{T^2 \times f(y_i^*)} = \frac{A_i}{H} \int_{T_0}^T \frac{1}{T^2} \times \exp\left(-\frac{E_i}{RT}\right) dT \quad (7)$$

درنتیجه:

$$\frac{f^*(y_i^*)}{T^2} = \frac{A_i R}{H \times E_i} \left[\exp\left(\frac{-E_i}{R \times T}\right) - \exp\left(\frac{-E_i}{R \times T_0}\right) \right] \quad (8)$$

$$f^*(y_i^*) = \int_0^{y_i^*} \frac{1}{(1-y_i^*)^n} = \begin{cases} -\ln(1-y_i^*) \Leftarrow n=1 \\ \frac{1-(1-y_i^*)^{1-n}}{1-n} \Leftarrow n \neq 1 \end{cases} \quad (9)$$

در معادله (۸)، با توجه به اینکه $\exp\left(\frac{-E_i}{R \times T_0}\right)$ است، می‌توان معادله بالا را به‌شکل زیر ساده‌سازی کرد:

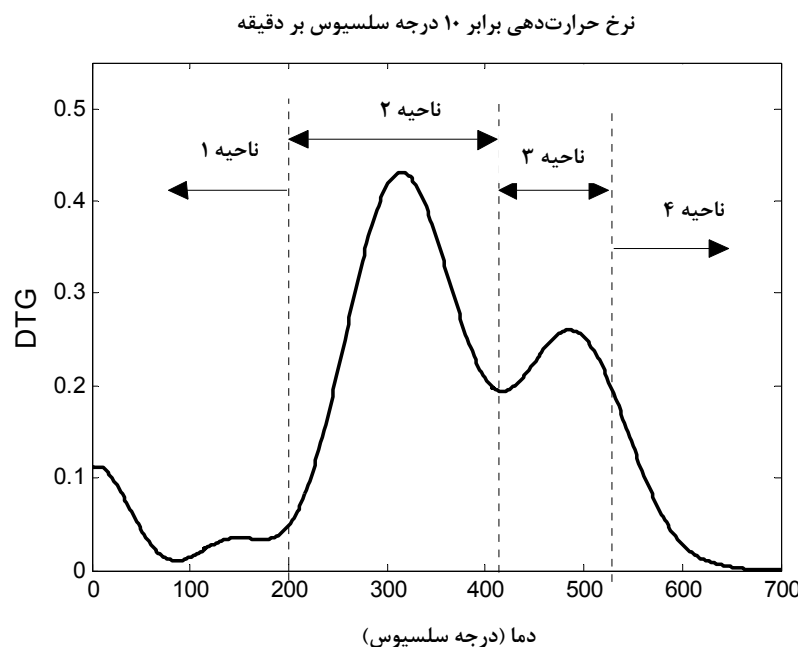
$$\ln\left[\frac{f^*(y_i^*)}{T^2}\right] = \ln\left(\frac{A_i R}{H \times E_i}\right) - \frac{E_i}{R} \times \frac{1}{T} \quad (10)$$

با توجه به معادله (۱۰)، مجھولات سینتیکی این معادله عبارت‌اند از مرتبه واکنش پیرولیز در هر ناحیه (n)، انرژی اکتیویسیون در هر ناحیه (E) و ضریب پیش‌نمایی آرنیوس (A). برای یافتن این سه متغیر از یک کد رایانه‌ای استفاده شده است. مطابق معادله (۳)، اگر مرتبه واکنش پیرولیز معلوم باشد، از روی نمودارهای ترموگردویتمتری (TGA) ارائه شده از کارهای هان و همکارانش [۴] یا زیوکوا و همکارانش [۵] می‌توان عبارت $f^*(y_i^*)$ را بر حسب دما مطابق با معادله (۹) بدست آورد. مطابق معادله (۱۰)، جمله سمت چپ این معادله بر حسب $\frac{1}{T}$ به صورت یک معادله خطی است که شبیه این معادله $\frac{-E_i}{R}$ بوده و عرض از مبدأ آن عبارت $\left\{\frac{A_i}{H} \times R\right\} / \left\{\frac{1}{T}\right\}$ است، که در عبارت شبیه و عرض از مبدأ تنها مجھولات انرژی فعالسازی و ضریب پیش‌نمایی آرنیوس‌اند. در این مرحله، از روش حداقل کردن مربعات به عنوان یک تقریب خطی استفاده شده و مجھولات فوق به دست آورده شده‌اند. در این کد رایانه‌ای مرتبه واکنش پیرولیز از مقدار ۰/۰۱ تا ۱۰ با گام ۰/۰۱ افزایش یافت و با کمینه کردن حداقل کردن مربعات در نهایت مقدار مطلوب مرتبه واکنش پیرولیز در هر ناحیه حاصل شد که نتایج به شکل جدول‌های شماره ۱ و ۲ ارائه شده‌اند.

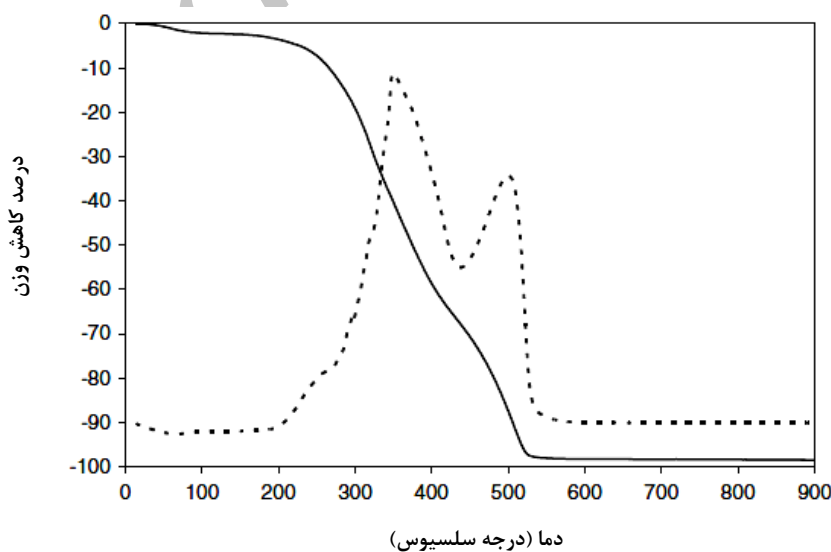
نتایج و بحث

شکل ۱ نشان‌دهنده منحنی DTG حاصل از نتایج آزمایشگاهی هان و همکارانش [۴] برای نرخ حرارت‌دهی معمول (${}^\circ\text{C}/\text{min}$) ۱۰ است. با توجه به شکل ۱، مشاهده می‌شود که کل بخش حرارت‌دهی را می‌توان به چهار ناحیه تقسیم‌بندی کرد که به ترتیب عبارت‌اند از: ناحیه شماره ۱ که بیانگر فرایند خشک‌شدن ذرات (تبخیر رطوبت موجود داخل ذرات) است که در محدوده دمایی ۰ تا ۲۰۰ درجه سلسیوس اتفاق می‌افتد؛ ناحیه شماره ۲ که همان پیرولیز ترکیبات همی‌سولز و لیگنین موجود در داخل ذرات است که در محدوده دمایی ۲۰۰ تا ۳۹۴ درجه سلسیوس رخ می‌دهد؛ ناحیه شماره ۳ که نشانگر پیرولیز ترکیبات سولز و لیگنین است که در بازه دمایی ۳۹۴ تا ۴۰۰ درجه سلسیوس به‌وقوع می‌پیوندد؛ ناحیه شماره ۴ که بیانگر ادامه پیرولیز ترکیب لیگنین موجود در داخل ذرات لایکوپدیوم است که در محدوده دمایی ۴۹۰ تا ۷۰۰ رخ می‌دهد.

شکل ۲ نشان‌دهنده منحنی DTG ارائه شده توسط کار زیوکوا و همکارانش [۵] است. با توجه به شکل فوق مرحله خشک‌شدن ذره لایکوپدیوم در بازه دمایی ۰ تا ۲۰۰ درجه سلسیوس اتفاق می‌افتد که این محدوده دمایی مشابه گزارش‌های کارهان و همکارانش [۴] است. همچنین با توجه به شکل ۲ فرایند پیرولیز ذره لایکوپدیوم در دو مرحله اتفاق می‌افتد. اکنون با توجه به مشخصشدن بازه دمایی هر فرایند در طول حرارت‌دهی می‌توان از تحلیل ارائه شده در این تحقیق پارامترهای اساسی سینتیک هر یک از فرایندهای خشک‌شدن و پیرولیز را مطابق جدول‌های ۱ و ۲ محاسبه نمود (نرخ حرارت‌دهی برابر $10^{\circ}\text{C}/\text{min}$ است).



شکل ۱- منحنی DTG بر حسب دما برای مدل ۴ ناحیه‌ای به دست آمده از روی داده‌های آزمایشگاهی [۴]



شکل ۲- منحنی TG و DTG بر حسب دما برای مدل ۳ ناحیه‌ای ارائه شده توسط زیوکوا و همکارانش [۵]

جدول ۱- پارامترهای سینتیکی حاصل از مدل تحلیلی ۴ ناحیه‌ای

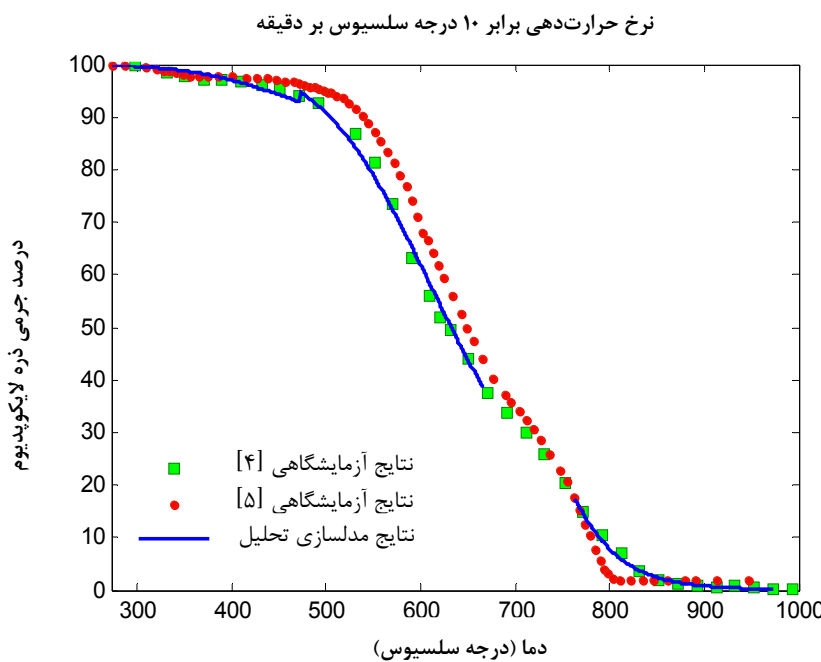
A_i (1/sec)	E_i (kJ/kmol)	n	T (°C)	نام ناحیه
4.7×10^{-5}	۱۶۴۲۳/۴۱	۹	۲۰۰ - ۰	ناحیه ۱
۱/۳۴۶۷	۲۵۱۸۷/۰۱	۱/۸۶	۳۹۴ - ۲۰۰	ناحیه ۲
1.1×10^{-5}	۱۵۷۰۶/۱۱	۱	۴۹۰ - ۳۹۴	ناحیه ۳
1.5×10^{-5}	۷۷۱۷۵/۲۸	۱/۵۸	۷۰۰ - ۴۹۰	ناحیه ۴

جدول ۲- پارامترهای سینتیکی حاصل از مدل تحلیلی ۳ ناحیه‌ای

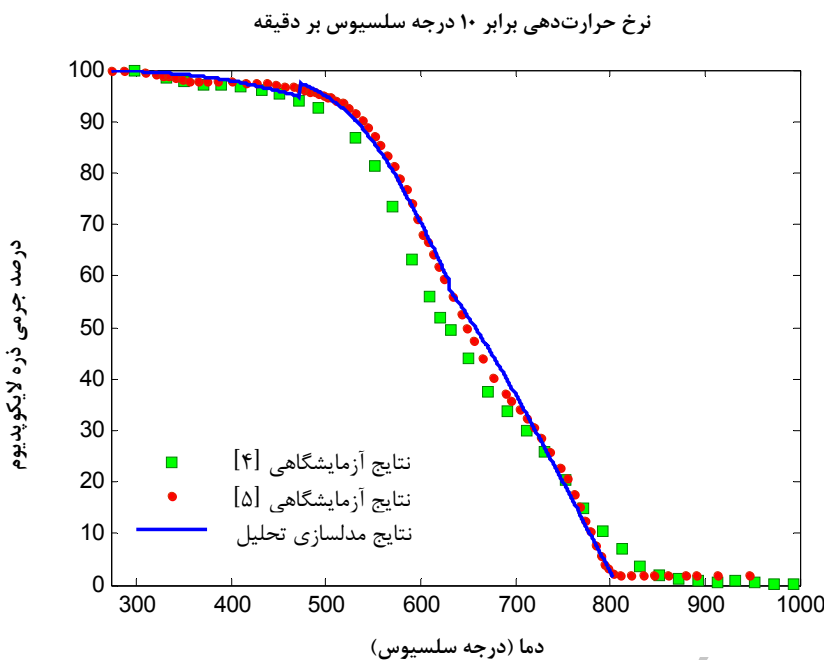
A_i (1/sec)	E_i (kJ/kmol)	n	T (°C)	نام ناحیه
4.7×10^{-5}	۱۵۴۲۳/۴۱	۹	۲۰۰ - ۰	ناحیه ۱
۵/۱۶۱۸	۴۲۶۶۱/۷۵	۲	۴۳۶ - ۲۰۰	ناحیه ۲
1.7×10^{-5}	۱۰۵۲۶/۱۷	.۱۱	۵۳۰ - ۴۳۶	ناحیه ۳

شکل‌های ۳ و ۴ نتایج حاصل از مدل تحلیلی ارائه شده در این کار را، که به ترتیب از برآش نتایج آزمایشگاهی [۴] و [۵] به دست آمده‌اند، نشان می‌دهد. مطابق این شکل‌ها نتایج تحلیل ارائه شده در این کار تطابق بسیار خوبی با نتایج آزمایشگاهی دارد و می‌توان به ثابت‌های سینتیکی به دست آمده در این تحلیل با درصد قابل ملاحظه‌ای اطمینان کرد. چنانکه خطای حاصل از هر دو مدل در مقایسه با نتایج آزمایشگاهی (مطابق شکل‌های ۳ و ۴) کمتر از ۱٪ است.

شکل ۵ دمایی که در آن ۵۰ درصد جرم ذره پیرولیز می‌شود را بر حسب نرخ حرارت‌دهی مختلف نشان می‌دهد.

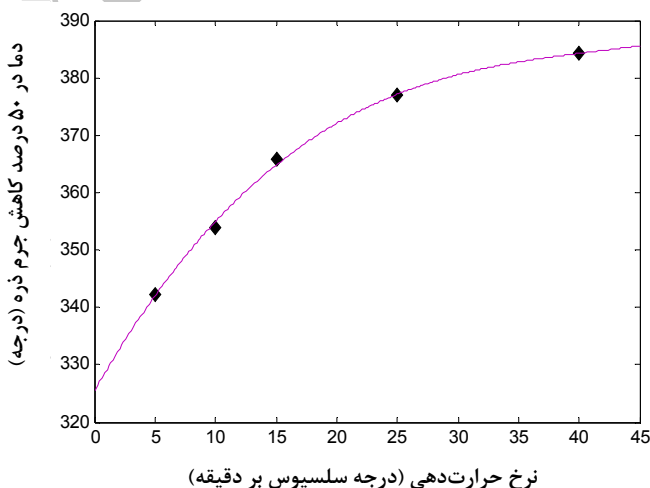


شکل ۳- درصد کسر وزنی ذره لایکوپدیوم بر حسب دما برای مدل چهار ناحیه‌ای



شکل ۴- درصد کسر وزنی ذره لایکوپدیوم بر حسب دما برای مدل سه ناحیه‌ای

طبق شکل ۵ مشاهده می‌شود دمایی که در آن ۵۰ درصد جرم ذره از بین می‌رود در نرخ حرارت‌دهی مختلف در بازه‌ای بین ۳۹۰-۳۲۰ درجه سلسیوس متغیر است. این دما در برخی مدل‌سازی‌های متداول قبلی [۱۱-۱۶] به عنوان دمای پیرولیز به صورت یک عدد فرضی مذکور بود؛ یعنی به این صورت که دمای پیرولیز به صورت یک عدد ثابت و به عنوان دمای شروع پیرولیز ذره به مدل تحلیلی داده می‌شد. این در حالی است که مدل حاصل پیرولیز ذرات لایکوپدیوم را بر حسب دما به صورت پیوسته مدل کرده است و می‌توان از این مدل پیرولیز (معادله شماره ۱) به همراه ضرایب سینتیکی تبخیر رطوبت و پیرولیز ذرات در آینده به عنوان مدل پیرولیز ابر ذرات لایکوپدیوم استفاده کرد. نکته قابل توجه اینکه روند موجود در شکل ۵ مطابق روند نتایج کار لابورتا و همکارانش [۱۵، ۱۶] است.



شکل ۵- تغییرات دمای ۵۰ درصد کسر وزنی ذره بر حسب نرخ حرارت‌دهی

نتیجه‌گیری

در این کار ضمن استفاده از نتایج آزمایشگاهی قبلی و با استفاده از یک مدل سینتیکی، که برای مواد ارگانیک معروفی شده است، به بررسی تحلیلی فرایندهای خشک‌شدن رطوبت و مراحل پیروولیز ترکیبات مختلف موجود در داخل ذرات لایکوپدیوم پرداخته شده است. برای این کار از یک کد رایانه‌ای برای یافتن ضرایب سینتیکی بهره گرفته شده است. همچنین، برای حل این مدل از روش حداقل کردن مربعات استفاده شده است. نتیجه حاصل از تحلیل که پارامترهایی چون انرژی فعالسازی (E)، مرتبه واکنش هر یک از فرایندها (n) و ضریب پیش‌نمایی آرنیوس (A) را برای هر یک از نواحی موجود به‌دست می‌دهد، با نتایج موجود آزمایشگاهی مقایسه شد. نتایج نشانگر مطابق قابل قبول مدل تحلیلی با نتایج آزمایشگاهی موجود است. چنان‌که خطای حاصل از هر دو مدل در مقایسه با نتایج آزمایشگاهی (مطابق شکل‌های ۳ و ۴) کمتر از ۰/۰۱ است. همچنین با مقایسه خطاهای مشاهده شد مدل ۴ ناحیه‌ای قابل اطمینان‌تر است. درنتیجه می‌توان از این مدل پیروولیز استفاده شده در این کار (معادله شماره ۱) به همراه ضرایب سینتیکی تبخیر رطوبت و پیروولیز ذرات (ارائه شده در جدول‌های ۱ یا ۲) در مدل‌های تحلیلی آینده برای پیروولیز ابر ذرات لایکوپدیوم استفاده کرد. همچنین، برای راحتی می‌توان از نتایج ارائه شده برای دمایی که در آن ۵۰ درصد جرم ذره از بین می‌رود استفاده و این دما را به عنوان دمای آغاز پیروولیز مورد استفاده قرار داد که این دما برای نرخ حرارت‌دهی‌های مختلف بین ۳۹۰ تا ۳۲۰ درجه سلسیوس است.

فهرست عالیم

A	ضریب پیش‌نمایی آرنیوس (1/sec)
E	انرژی فعالسازی (kJ/kmol)
$f(y_i^*)$	تعریف شده مطابق فرمول شماره (۳)
$f^*(y_i^*)$	تعریف شده مطابق فرمول شماره (۶)
H	نرخ حرارت‌دهی به ذرات (°C / min)
K	سرعت فرایند کاهش جرم مطابق معادله آرنیوسی (۲)، (1/sec)
M	جرم ذره (mg)
n	مرتبه واکنش
R	ثابت گازها (kJ/kmol.K)
T	دما (K)
t	زمان (sec)
y_i^*	کسر کاهش جرم ذره مطابق معادله (۴)

زیرنویس‌ها

S	جامد
∞	نقطه انتهای هر مرحله از فرایند کاهش جرم
۰	نقطه ابتدایی هر مرحله از فرایند کاهش جرم
i	شماره هر مرحله

منابع

1. H. Beidaghy Dizaji, "Analysis of the Effect of Dimensionless Numbers on Organic Dust Combustion," MSc. Thesis, Iran University of Science and Technology (IUST), Department of Mechanical Engineering, 2011. (in Farsi)
2. H. Beidaghy Dizaji and M. Bidabadi, "Investigation of the Effect of Organic Lycopodium Particles Size on Dimensionless Numbers in Combustion Phenomena," *3st Iran Bioenergy Conference*, IRIB International Conference Center, Tehran, Iran, October 2012. (in Farsi)
3. L. Shiguang, X. Shaoping, L. Shuqin, Y. Chen and L. Qinghua, "Fast Pyrolysis of Biomass in Free-Fall Reactor for Hydrogen-Rich Gas," *Fuel Processing Technology*, 85, 2004, pp. 1201-1211.
4. O. S. Han, M. Yashima, T. Matsuda, H. Matsui, A. Miyake and T. Ogawa, "Behavior of Flames Propagating through Lycopodium Dust Clouds in a Vertical Duct," *Journal of Loss Prevention in the Process Industries*, 13, 2000, pp. 449-457.
5. Z. Zivcova, E. Gregorova and W. Pabst, "Porous Alumina Ceramics Produced with Lycopodium Spores as Pore-Forming Agents," *J. Mater Sci.*, 42, 2007, pp. 8760-8764.
6. M. Bidabadi, A. Haghiri and A. Rahbari, "The effect of Lewis and Damköhler Numbers on the Flame Propagation through Micro-Organic Dust Particles," *International Journal of Thermal Sciences*, 49, 2010, pp. 534-542.
7. A. Haghiri and M. Bidabadi, "Modeling of Laminar Flame Propagation through Organic Dust Cloud with Thermal Radiation Effect," *International Journal of Thermal Sciences*, 49, 2010, pp. 1446-1456.
8. M. Bidabadi, H. Beidaghy Dizaji, F. Faraji Dizaji, and M. Safari Ghahsareh, "Effect of Thermal Radiation on Initiation of Flame Instability in Moisty Organic Dust Combustion," *20th Annual International Conference on Mechanical Engineering (ISME)*, Shiraz University, Shiraz, Iran, May 2012.
9. M. Bidabadi, F. Faraji Dizaji, H. Beidaghy Dizaji and M. Safari Ghahsareh, "Investigation of Effective Parameters on Flame Instability in Combustion of Organic Dust," *20th Annual International Conference on Mechanical Engineering (ISME)*, Shiraz University, Shiraz, Iran, May 2012.
10. H. Beidaghy Dizaji, M. Bidabadi, F. Faraji Dizaji and S. A. Mostafavi, "Effect of Dimensionless Numbers on Production of Energy from Moisty Organic Dust Particles," *3rd Iran Bioenergy Conference*, IRIB International Conference Center, Tehran, Iran, October 2012.
11. F. Faraji Dizaji, M. Bidabadi, H. Beidaghy Dizaji and S. A. Mostafavi, "Effect of Thermal Radiation on Modeling of Moisty Organic Dust Combustion," *3rd Iran Bioenergy Conference*, IRIB International Conference Center, Tehran, Iran, October 2012.
12. R. Z. Hu, *Thermal Analysis Kinetics*, Science Press of China, Beijing, 2001, pp. 28-29.
13. J. Rath, "Staudinger G. Cracking reactions of tar from pyrolysis of spruce wood," *Fuel*, 80, 2001, pp. 1379-1389.
14. O. Dung Tran and C. Rai, "A Kinetic Model for Pyrolysis of Douglas Fir Bark," *Fuel*, 57, 1978, pp. 293-298.
15. M. Lapuerta, J. J. Hernandez and J. Rodriguez, "Comparison between the Kinetics of Devolatilisation of Forestry and Agricultural Wastes from the Middle-South Regions of Spain," *Biomass and Bioenergy*, 31, 2007, pp. 13-19.
16. M. Lapuerta, J. J. Hernandez and J. Rodriguez, "Kinetics of Devolatilisation of Forestry Wastes from Thermogravimetric Analysis," *Biomass and Bioenergy*, 27, 2004, pp. 385-391.

English Abstract

Analitical Study about the Kinetics of Different Processes in Pyrolysis of Lycopodium Dust

Hossein Beidaghy Dizaji and Mehdi Bidabadi

Department of Mechanical Engineering, Combustion Research Laboratory, Iran University of Science and Technology (IUST), Tehran, Iran

(Received: 2012.11.23, Received in revised form: 2013.4.25, Accepted: 2013.5.31)

The effects of kinetics of drying and pyrolysis processes of organic particles such as lycopodium on analytical models of combustion of this type of particles are studied in this paper. DTG curves are investigated using experimental TGA curves and an analytical model for the kinetics of drying and pyrolysis processes of particles in combustion phenomena is presented. The results show excellent agreement between this analytical model and experimental results. It is possible to confidently use the results of this analytical model for future analytical models of lycopodium particles.

Keywords: Combustion of lycopodium particles, Kinetics of pyrolysis process, Kinetics of drying process